

УДК 532.526

ЛАМИНАРНОЕ ТЕЧЕНИЕ В ПОРИСТОМ ПЛОСКОМ КРИВОЛИНЕЙНОМ КАНАЛЕ

А. А. АВРАМЕНКО*, Т. В. СОРОКИНА*, Т. Б. БАСОК**

* Институт технической теплофизики НАН Украины, Киев

** Киевский национальный университет имени Тараса Шевченко

Получено 01.08.2006

Аналитически получен профиль скорости для ламинарного течения в пористом плоском канале. Исследовано влияние пористости и ширины канала на коэффициент гидравлического сопротивления и профиль скорости в канале.

Аналитично отриманий профіль швидкості для ламінарної течії в пористому плоскому каналі. Досліджено вплив пористості та ширини каналу на коефіцієнт гідравлічного опору та профіль швидкості у каналі.

Velocity profile for laminar flow in porous flat channel is obtained analytically. Influence of porosity and width of channel on coefficient of hydraulic resistance and velocity profile in channel is investigated.

ВВЕДЕНИЕ

Принцип ДИВЭ (дискретно-импульсного ввода энергии) [1] часто встречается в технологических процессах грануляции, биотехнологиях и т. д. При этом процессы ДИВЭ протекают в каналах с пористой средой различной конфигурации. В работе [2] рассматривалась задача о течении в пористом прямолинейном канале и на основании точного решения выведен профиль скорости в неявном виде. Авторами работы [3] получено приближенное решение в явном виде для профиля скорости в пористом прямолинейном канале. Однако в аппаратах ДИВЭ встречаются криволинейные каналы с пористой средой, что вызывает необходимость исследования гидродинамики в таких каналах.

1. ОСНОВНАЯ ЧАСТЬ

Целью настоящей работы является получение профиля скорости в аналитическом виде для случая пористого плоского криволинейного канала.

Уравнение, описывающее течение в пористом плоском криволинейном канале, имеет следующий вид:

$$\frac{1}{r} \frac{\partial p}{\partial \varphi} = \mu \left(\frac{\partial^2 u}{\partial r^2} + \frac{1}{r} \frac{\partial u}{\partial r} - \frac{u}{r^2} - \frac{u}{K} \right),$$

где p – давление; r, φ – цилиндрические координаты; u – угловая проекция скорости; μ – динамическая вязкость; K – проницаемость пористой среды. Течение происходит вдоль азимутальной координаты φ в криволинейном канале с радиусом выпуклой стенки R_1 и вогнутой – R_2 . Азимутальный градиент давления не зависит от ра-

диальной координаты и является постоянной величиной. Следовательно, данное уравнение представляет собой обыкновенное дифференциальное уравнение, которое удобно представить в безразмерной форме:

$$\frac{d^2 w}{d(r^*)^2} + \frac{1}{r^*} \frac{dw}{dr^*} - \frac{w}{(r^*)^2} - \frac{w}{\text{Da}} = -\frac{1}{r^*}, \quad (1)$$

где

$$w = \frac{\mu u}{R_2 \left(-\frac{\partial p}{\partial \varphi} \right)}, \quad r^* = \frac{r}{R_2},$$

$$\text{Da} = \frac{K}{R_2^2} - \text{число Дарси.}$$

Уравнение (1) необходимо решить при следующих граничных условиях:

$$w = 0 \quad \text{при} \quad r^* = \eta, \quad w = 0 \quad \text{при} \quad r^* = 1, \quad (2)$$

где $\eta = R_1/R_2$. Выражение (1) является неоднородным дифференциальным уравнением и может быть решено методом вариации произвольных постоянных. Для этого, прежде всего, находим решение соответствующего однородного уравнения:

$$\frac{d^2 w}{d(r^*)^2} + \frac{1}{r^*} \frac{dw}{dr^*} - \frac{w}{(r^*)^2} - \frac{w}{\text{Da}} = 0.$$

Решение такого уравнения выражается через модифицированные функции Бесселя:

$$w = C_1 I_1 \left(\frac{r^*}{\sqrt{\text{Da}}} \right) + C_2 K_1 \left(\frac{r^*}{\sqrt{\text{Da}}} \right), \quad (3)$$

где I_1 и K_1 – модифицированные функции Бесселя первого порядка первого и второго рода соответственно, C_1 и C_2 – постоянные интегрирования.

В соответствии с методом вариации произвольных постоянных для нахождения решения уравнения (1) постоянные интегрирования в (3) заменяются на неизвестные функции $A(r^*)$ и $B(r^*)$, так что имеем

$$w = A(r^*) I_1\left(\frac{r^*}{\sqrt{Da}}\right) + B(r^*) K_1\left(\frac{r^*}{\sqrt{Da}}\right).$$

Эти неизвестные функции определяются как решение системы дифференциальных уравнений:

$$\frac{dA(r^*)}{dr^*} I_1\left(\frac{r^*}{\sqrt{Da}}\right) + \frac{dB(r^*)}{dr^*} K_1\left(\frac{r^*}{\sqrt{Da}}\right) = 0,$$

$$\begin{aligned} & \frac{dA(r^*)}{dr^*} \frac{dI_1\left(r^*/\sqrt{Da}\right)}{dr^*} + \\ & + \frac{dB(r^*)}{dr^*} \frac{dK_1\left(r^*/\sqrt{Da}\right)}{dr^*} = -\frac{1}{r^*}. \end{aligned}$$

В результате интегрирования приведенной системы получаем

$$w = \frac{Da}{r^*} + C_1^* I_1\left(\frac{r^*}{\sqrt{Da}}\right) + C_2^* K_1\left(\frac{r^*}{\sqrt{Da}}\right), \quad (4)$$

где константы интегрирования определяются следующими соотношениями:

$$C_1^* = \eta M^2 \frac{K_1(M) - \eta K_1(\eta M)}{I_1(M) K_1(\eta M) - I_1(\eta M) K_1(M)},$$

$$C_2^* = \eta M^2 \frac{I_1(M) - \eta I_1(\eta M)}{I_1(\eta M) K_1(M) - I_1(M) K_1(\eta M)},$$

причем $M = 1/\sqrt{Da}$. Используя выражение (4), определяем среднерасходную скорость \bar{w} по формуле:

$$\begin{aligned} \bar{w} &= \frac{1}{1-\eta} \int_{\eta}^1 w(r^*) dr^* = \\ &= \frac{\sqrt{Da}}{1-\eta} \left\{ C_1^* \left[I_0\left(\frac{1}{\sqrt{Da}}\right) - I_0\left(\frac{\eta}{\sqrt{Da}}\right) \right] + \right. \\ &+ C_2^* \left[K_0\left(\frac{\eta}{\sqrt{Da}}\right) - K_0\left(\frac{1}{\sqrt{Da}}\right) \right] - \\ &\left. - \sqrt{Da} \ln \eta \right\}, \quad (5) \end{aligned}$$

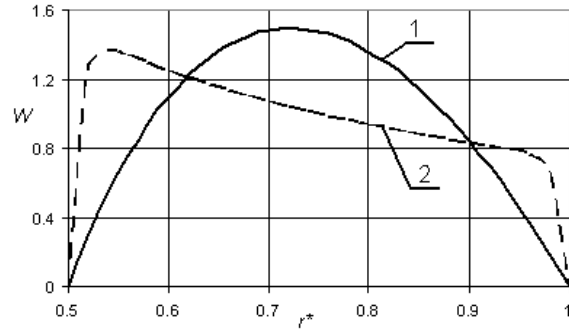


Рис. 1. Распределение безразмерной скорости в канале при:
1 – $Da=1$, $\eta=0.5$; 2 – $Da=0.0001$, $\eta=0.5$

где I_0 и K_0 – модифицированные функции Бесселя нулевого порядка первого и второго рода соответственно.

Из рис. 1, где представлены распределения безразмерной скорости, отнесенной к ее среднерасходному значению, видно, что при значениях $Da \geq 0.005$ влияние пористости на форму профиля скорости невелико и профили скорости в пористой и чистой среде, которые рассчитаны по формуле

$$\frac{w(r^*)}{\bar{w}} = \frac{4(1-\eta)r^*}{4\eta^2 \ln^2 \eta - (1-\eta^2)^2} \times$$

$$\times \left[(1-\eta^2) \ln r^* + \eta^2 \ln \eta \left(1 - \frac{1}{(r^*)^2} \right) \right],$$

близки по форме. При $Da < 0.005$ уже начинает сказываться влияние пористости и более четко проявляется диапазон радиальной координаты, на котором выполняется условие

$$u \cdot r = \text{const},$$

что свойственно турбулентным потокам в криволинейных каналах [4]. Следовательно, можно сделать вывод о том, что пористость среды оказывает на гидродинамику потока влияние, качественно схожее с влиянием турбулентности.

Гидравлическое сопротивление канала определяется формулой Дарси – Вейсбаха

$$-\frac{\partial p}{\partial \varphi} = \lambda \frac{1+\eta}{2(1-\eta)} \frac{\rho \bar{u}^2}{2},$$

где \bar{u} – среднерасходная размерная скорость; λ – коэффициент гидравлического сопротивления. Этот коэффициент обратно пропорционален среднерасходной скорости. Поэтому отношение коэффициентов гидравлического сопротивления для

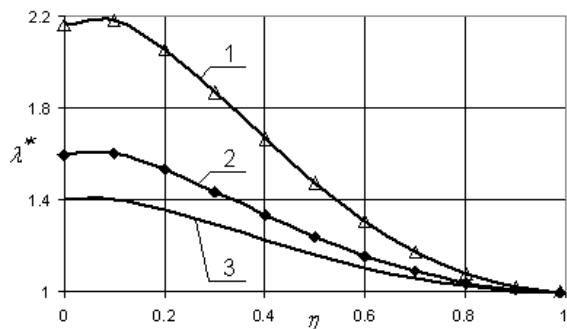


Рис. 2. Зависимость относительного коэффициента гидравлического сопротивления от ширины зазора при $Da = idem$:
1 – $Da=0.05$; 2 – $Da = 0.1$; 3 – $Da = 0.15$

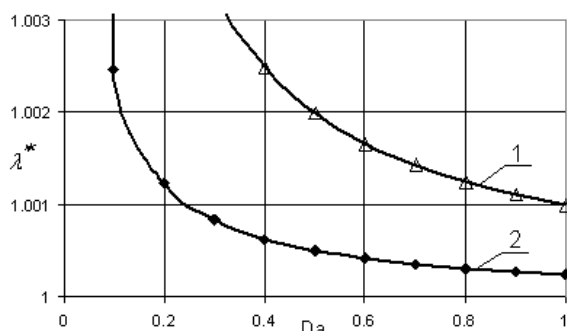


Рис. 3. Зависимость относительного коэффициента гидравлического сопротивления от числа Дарси при $Da = idem$:
1 – $\eta=0.09$; 2 – $\eta = 0.95$

пористой и чистой среды можно выразить соотношением

$$\lambda^* = \frac{\lambda_p}{\lambda_0} = \frac{\bar{w}_0}{\bar{w}_p},$$

где \bar{w}_p – среднерасходная безразмерная скорость для пористой среды, которая вычисляется по формуле (5); среднерасходная безразмерная скорость для чистой среды определяется формулой

$$\bar{w}_0 = \frac{(1 + \eta^4) - 2\eta^2(1 + 2\ln^2 \eta)}{8(1 - \eta)(1 - \eta^2)}.$$

Результаты расчетов для относительного коэффициента гидравлического сопротивления представлены на рис. 2 и 3. Оба рисунка показывают, что с уменьшением числа Дарси коэффициент λ^* возрастает. Причем влияние числа Дарси на гидравлическое сопротивление падает, по мере того как значение параметра η стремится к единицы.

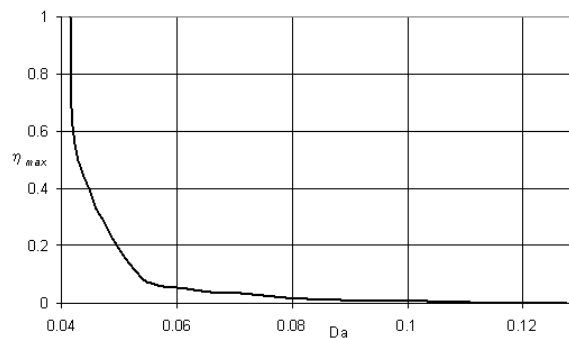


Рис. 4. Положение η_{max} в зависимости от числа Дарси

Представленная на рис. 4 зависимость $\lambda^* = \lambda^*(\eta)$ при $Da = idem$ носит экстремальный характер. Положение максимума η_{max} зависит от числа Дарси. Видно, что с уменьшением числа Дарси максимум сдвигается в сторону больших значений η .

ЗАКЛЮЧЕНИЕ

В результате проведенных исследований получен профиль скорости для случая ламинарного течения в пористом плоском криволинейном канале. Это позволило исследовать характер влияния пористости и ширины канала на форму профиля и коэффициент гидравлического сопротивления. Показано, что с уменьшением ширины канала влияние числа Дарси на гидродинамику потока ослабевает.

1. Долинский А. А., Басок Б. И., Гулый С. И., Накорчевский А. И., Шурчкова Ю. А. Дискретно-импульсный ввод энергии в теплотехнологиях.– Киев: ИТТФ НАНУ, 1996.– 208 с.
2. Nield D. A., Junqueira S. L. M., Lage J. L. Forced convection in a fluid-saturated porous-medium channel with isothermal or isoflux boundaries // J. Fluid Mech.– 1996.– **332**.– P. 201–214.
3. Vafk K., Kim S. J. Forced convection in a channel filled with a porous medium: an exact solution // J. of Heat Transfer.– 1989.– **111**.– P. 1105.
4. Ellis L. B. and Joubert P. N. Turbulent shear flow in a curved duct // J. Fluid Mech.– 1974.– **62**, Part 1.– P. 65–84.